

Analytic of VPT in iron-based superconductor

Wei Cheng

In the basics $|p_z, \uparrow\rangle, |p_z, \downarrow\rangle, |d_{xz+iyz}, \downarrow\rangle, |d_{xz-iyz}, \uparrow\rangle, |d_{xz+iyz}, \uparrow\rangle, |d_{xz-iyz}, \downarrow\rangle$, 考虑 $k_z = 0$

$$H = \begin{pmatrix} M(k) & 0 & 0 & -iAk_- & -iAk_+ & 0 \\ 0 & M(k) & -iAk_+ & 0 & 0 & -iAk_- \\ 0 & iAk_- & -M(k) & 0 & 0 & 0 \\ iAk_+ & 0 & 0 & -M(k) & 0 & 0 \\ iAk_- & 0 & 0 & 0 & -M(k) + \delta & 0 \\ 0 & iAk_+ & 0 & 0 & 0 & -M(k) + \delta \end{pmatrix} \quad (1)$$

其中 $M(k) = M_0 + M_1(k_x^2 + k_y^2)$, $k_+ = k_x + ik_y$, $k_- = k_x - ik_y$ 做一个基矢变换可将其分块对角

$$U = \begin{pmatrix} 1 & 0 & 0 & 0 & 0 & 0 \\ 0 & 0 & 0 & 1 & 0 & 0 \\ 0 & 0 & 0 & 0 & 1 & 0 \\ 0 & 1 & 0 & 0 & 0 & 0 \\ 0 & 0 & 1 & 0 & 0 & 0 \\ 0 & 0 & 0 & 0 & 0 & 1 \end{pmatrix} \quad (2)$$

可以得到

$$H_k = \begin{pmatrix} M(k) & -iAk_- & -iAk_+ & & & \\ iAk_+ & -M(k) & 0 & & & \\ iAk_- & 0 & -M(k) + \delta & & & \\ & & & M(k) & -iAk_+ & -iAk_- \\ & & & iAk_- & -M(k) & 0 \\ & & & iAk_+ & 0 & -M(k) \end{pmatrix} \quad (3)$$

即可以得到电子在 $\{|p_z, \uparrow\rangle_e, |d_{xz-iyz}, \uparrow\rangle_e, |d_{xz+iyz}, \uparrow\rangle_e\}$ 的哈密顿量为

$$H_{e\uparrow}(k) = \begin{pmatrix} M(k) & -iAk_- & -iAk_+ \\ iAk_+ & -M(k) & 0 \\ iAk_- & 0 & -M(k) \end{pmatrix} \quad (4)$$

其在 $\{|p_z, \downarrow\rangle_e, |d_{xz+iyz}, \downarrow\rangle_e, |d_{xz-iyz}, \downarrow\rangle_e\}$ 的哈密顿量为

$$H_{e\downarrow}(k) = \begin{pmatrix} M(k) & -iAk_+ & -iAk_- \\ iAk_- & -M(k) & 0 \\ iAk_+ & 0 & -M(k) \end{pmatrix} \quad (5)$$

将其写到空穴空间即 $\{|p_z, \downarrow\rangle_h, |d_{xz+iyz}, \downarrow\rangle_h, |d_{xz-iyz}, \downarrow\rangle_h\}$, 可以得到空穴的哈密顿量为

$$H_{h\downarrow}(k) = -H_{e\downarrow}^*(-k) = -\begin{pmatrix} M(k) & -iAk_+ & -iAk_- \\ iAk_- & -M(k) & 0 \\ iAk_+ & 0 & -M(k) \end{pmatrix} = -H_{e\uparrow}(k) \quad (6)$$

我们接下来求解 $H_{e\uparrow}(k)$ 的本征值与本征函数, 我们可以将其写在 k 空间的极坐标系下可以得到

$$H_{e\uparrow}(k) = \begin{pmatrix} M(k) & -iAke^{-i\theta} & -iAke^{i\theta} \\ iAke^{i\theta} & -M(k) & 0 \\ iAke^{-i\theta} & 0 & -M(k) \end{pmatrix} \quad (7)$$

可得其能量本征值为

$$E_{\pm} = \pm \sqrt{M(k)^2 + 2A^2k^2} \quad E_0 = -M(k) \quad (8)$$

可以看到能量的大小只与 k 的大小有关, 与 θ 无关, 系统具有连续旋转对称性, 由此可以在 k 空间定义一个角动量

$$J_z = -i\partial_\theta + J_{basis} = -i\partial_\theta + \begin{pmatrix} \frac{1}{2} & & \\ & -\frac{1}{2} & \\ & & \frac{3}{2} \end{pmatrix} \quad (9)$$

在动量空间中的轨道角动量的形式证明如下

$$L_z = (\vec{r} \times \vec{p})_z = xp_y - yp_x \quad (10)$$

$$= ip_y \partial_{p_x} - ip_x \partial_{p_y} \quad (11)$$

在动量空间的极坐标系中有

$$\partial_{p_x} = \cos(\theta)\partial_p - \frac{1}{p}\sin(\theta)\partial_\theta \quad (12)$$

$$\partial_{p_y} = \sin(\theta)\partial_p + \frac{1}{p}\cos(\theta)\partial_\theta \quad (13)$$

由此可以得到

$$L_z = ip_y \partial_{p_x} - ip_x \partial_{p_y} \quad (14)$$

$$= ip \sin(\theta) [\cos(\theta) \partial_p - \frac{1}{p} \sin(\theta) \partial_\theta] - ip \cos(\theta) [\sin(\theta) \partial_p + \frac{1}{p} \cos(\theta) \partial_\theta] \quad (15)$$

$$= -i \partial_\theta \quad (16)$$

由于 $[H_{e\uparrow}(k), J_z] = 0$, 因此我们可以求其共同本征态, 对于 J_z 而言, 其本征态为

$$\psi(k, \theta)^j = \begin{pmatrix} e^{i(j-\frac{1}{2})\theta} u_1(k) \\ e^{i(j+\frac{1}{2})\theta} u_2(k) \\ e^{i(j-\frac{3}{2})\theta} u_3(k) \end{pmatrix} \quad (17)$$

由此我们可以定义一个变换

$$U = \begin{pmatrix} e^{i(j-\frac{1}{2})\theta} & & \\ & e^{i(j+\frac{1}{2})\theta} & \\ & & e^{i(j-\frac{3}{2})\theta} \end{pmatrix} \quad (18)$$

由此可以得到

$$U^\dagger H_{e\uparrow}(k) U = \begin{pmatrix} M(k) & -iAk & -iAk \\ iAk & -M(k) & 0 \\ iAk & 0 & -M(k) \end{pmatrix} \quad (19)$$

可以解得其本征态为

$$|\psi_0\rangle = \frac{1}{\sqrt{2}} \begin{pmatrix} 0 \\ -1 \\ 1 \end{pmatrix} \quad |\psi_\pm\rangle = \frac{1}{a_\pm} \begin{pmatrix} -i(M(k) \pm E) \\ Ak \\ Ak \end{pmatrix} \quad (20)$$

其中 $E = \sqrt{M(k)^2 + 2A^2 k^2}$, a_\pm 为归一化系数, 由此我们可以得到角动量为 j 的本征态为

$$|\psi_0^j\rangle_e = \frac{1}{2\sqrt{\pi}} \begin{pmatrix} 0 \\ -e^{i(j+\frac{1}{2})\theta} \\ e^{i(j-\frac{3}{2})\theta} \end{pmatrix} \quad |\psi_\pm^j\rangle_e = \frac{1}{a_\pm \sqrt{2\pi}} \begin{pmatrix} -i(M(k) \pm E) e^{i(j-\frac{1}{2})\theta} \\ Ake^{i(j+\frac{1}{2})\theta} \\ Ake^{i(j-\frac{3}{2})\theta} \end{pmatrix} \quad (21)$$

对于空穴部分, 由于 $H_{h\downarrow}(k) = -H_{e\uparrow}(k)$, 用同样的方法进行, 其能量的本征值与电子部分差一个负号, 其本征态应与电子部分一致, 即

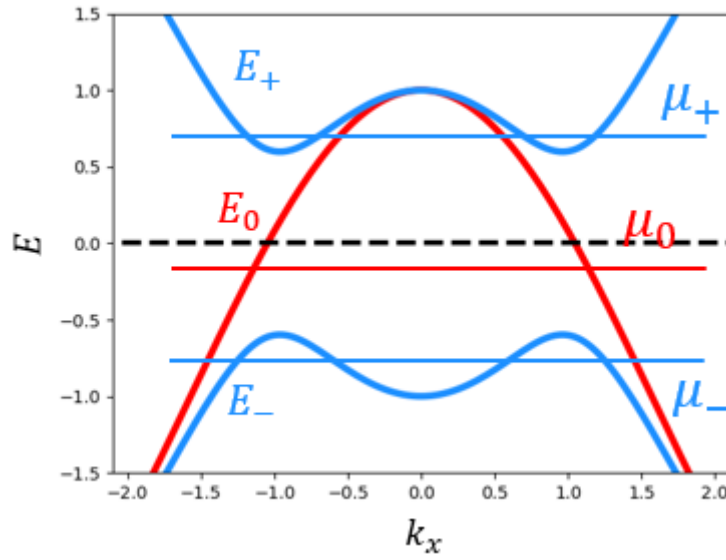
$$|\psi_0^j\rangle_h = \frac{1}{2\sqrt{\pi}} \begin{pmatrix} 0 \\ -e^{i(j+\frac{1}{2})\theta} \\ e^{i(j-\frac{3}{2})\theta} \end{pmatrix} \quad |\psi_\pm^j\rangle_h = \frac{1}{a_\pm \sqrt{2\pi}} \begin{pmatrix} -i(M(k) \pm E) e^{i(j-\frac{1}{2})\theta} \\ Ake^{i(j+\frac{1}{2})\theta} \\ Ake^{i(j-\frac{3}{2})\theta} \end{pmatrix} \quad (22)$$

为了方便计算，可取 $j = \frac{1}{2}$ ，此时可得

$$|\psi_0\rangle_e = \frac{1}{2\sqrt{\pi}} \begin{pmatrix} 0 \\ -e^{i\theta} \\ e^{-i\theta} \end{pmatrix} \quad |\psi_{\pm}\rangle_e = \frac{1}{a_{\pm}\sqrt{2\pi}} \begin{pmatrix} -i(M(k) \pm E) \\ Ake^{i\theta} \\ Ake^{-i\theta} \end{pmatrix} \quad (23)$$

$$|\psi_0\rangle_h = \frac{1}{2\sqrt{\pi}} \begin{pmatrix} 0 \\ -e^{i\theta} \\ e^{-i\theta} \end{pmatrix} \quad |\psi_{\pm}\rangle_h = \frac{1}{a_{\pm}\sqrt{2\pi}} \begin{pmatrix} -i(M(k) \pm E) \\ Ake^{i\theta} \\ Ake^{-i\theta} \end{pmatrix} \quad (24)$$

可以画出电子的能带图如下，取 $M_0 = -1, M_1 = 1, A = 0.5k_y = 0$ ，沿着 k_x 方向当费米面在 μ_0 附近



时，费米面附近只有 E_0 一条带，可以将 H_{BdG} 投影到这条 band 上，可以写出在基矢 $\{|\psi_0\rangle_e, |\psi_0\rangle_h\}$ 中的 H_{BdG} 为

$$H_{BdG}^{00} = \begin{pmatrix} E - \mu & i\Delta_e e^{-i\theta} (\partial_k - \frac{i\partial_\theta + A_\theta^{00}}{k}) \\ i\Delta_e e^{i\theta} (\partial_k + \frac{i\partial_\theta + A_\theta^{00}}{k}) & \mu - E \end{pmatrix} \quad (25)$$

因为 vortex 并不会破坏体系的旋转对称性，由此可以定义角动量

$$J_z = L_z + J_{basis} + J_{vortex} = -i\partial_\theta + \frac{1}{2} + \frac{1}{2}\tau_z \quad (26)$$

其本征函数为

$$\psi(k, \theta) = \frac{1}{\sqrt{k}} \begin{pmatrix} e^{i(j-1)\theta} u_1(k) \\ -ie^{ij\theta} u_2(k) \end{pmatrix} \quad (27)$$

由此可以做一个变换

$$U = \begin{pmatrix} e^{i(j-1)\theta} & \\ & -ie^{ij\theta} \end{pmatrix} \quad (28)$$

由此可以得到

$$(H_{BdG}^{00})^j = U^\dagger H_{BdG}^{00} U = \begin{pmatrix} E - \mu & \Delta_e \left(\frac{j - \frac{1}{2} - A_\theta^{00}}{k} + \partial_k \right) \\ \Delta_e \left(\frac{j - \frac{1}{2} - A_\theta^{00}}{k} - \partial_k \right) & \mu - E \end{pmatrix} \quad (29)$$

$$= (E - \mu)\sigma_z + i\Delta_e \partial_k + \frac{\Delta_e}{k} \left(j - \frac{1}{2} - A_\theta^{00} \right) \quad (30)$$

前两项构成一个 Jack-Rebbi, 由此可以得到

$$E_j = \frac{\Delta_e}{k} \left(j - \frac{1}{2} - A_\theta^{00} \right) \quad (31)$$

而 $A_\theta^{00} = i_e \langle \psi_0 | \partial_\theta | \psi_0 \rangle_h = -1$ 不可能为半整数, 因此在 μ_0 附近没有相变点。

当费米面在 μ_- 附近的时候, 费米能级附近有 E_0, E_- 两条 band, 将 H_{BdG} 投影到这两条 band 上, 我们忽略同一个 k , 不同 θ 之间的耦合, 为了计算方便, 我们在能量空间进行计算, 即将 (k, θ) 变换为 (E, θ) , 然后将 H_{BdG} 写在基矢 $\{|\psi_0(E, \theta)\rangle_e, |\psi_-(E, \theta)\rangle_e, |\psi_0(E, \theta)\rangle_h, |\psi_-(E, \theta)\rangle_h\}$

$$\begin{pmatrix} E - \mu & & \Delta_{11} & \Delta_{12} \\ & E - \mu & \Delta_{21} & \Delta_{22} \\ \Delta_{11}^\dagger & \Delta_{12}^\dagger & \mu - E & \\ \Delta_{21}^\dagger & \Delta_{22}^\dagger & & \mu - E \end{pmatrix} \quad (32)$$

其中

$$\Delta_{11} = i\Delta_e e^{-i\theta} \left(\frac{dE}{dk_-} \partial_E - \frac{i\partial_\theta + A_\theta^{00}}{k_-(E)} \right) \quad (33)$$

$$= i\Delta_e e^{-i\theta} \left(\hbar v_{k_-} \partial_E - \frac{i\partial_\theta + A_\theta^{00}}{k_-(E)} \right) \quad (34)$$

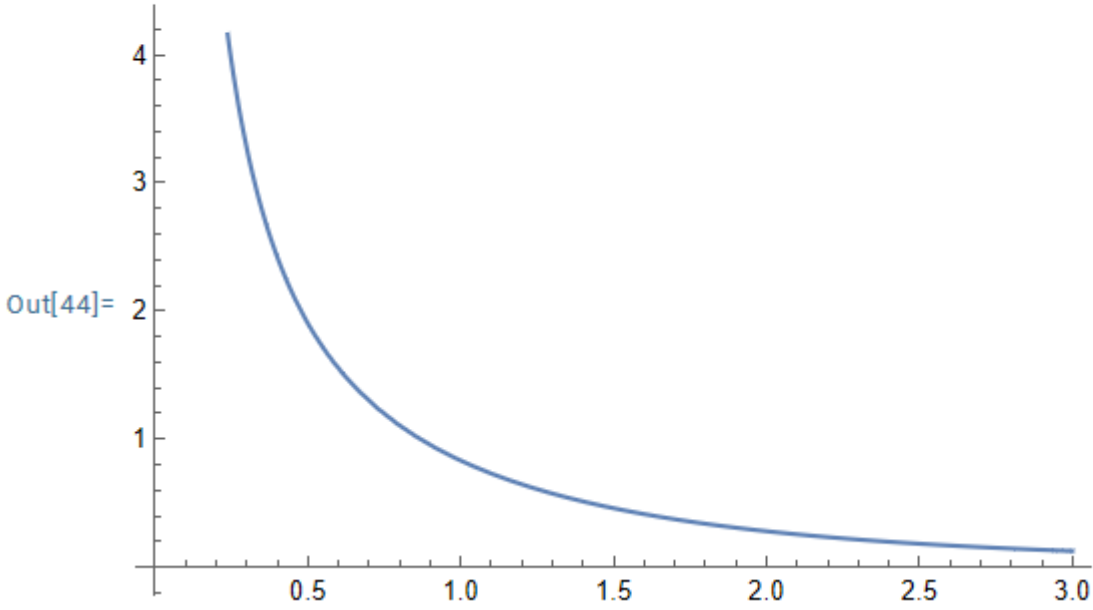
$$\Delta_{12} = {}_e \langle \psi_0(k_0, \theta) | \Delta_0 \tanh\left(\frac{r}{\xi}\right) e^{-i\theta} | \psi_-(k_-, \theta) \rangle_h \quad (35)$$

$$= {}_e \langle \psi_0(k_0, \theta) | \Delta_e r e^{-i\theta} \frac{\tanh\left(\frac{r}{\xi}\right)}{\frac{r}{\xi}} | \psi_-(k_-, \theta) \rangle_h \quad (36)$$

$$= -\frac{\Delta_e}{k_-} A_\theta^{12} {}_e \langle \psi_0(k_0, \theta) | \frac{\tanh\left(\frac{r}{\xi}\right)}{\frac{r}{\xi}} | \psi_-(k_-, \theta) \rangle_h \quad (37)$$

其中右侧积分的大小可以通过数值计算得到

In[44]:= Plot[NIntegrate[r*BesselJ[1, a*r]*Tanh[r], {r, 0, ∞}], {a, 0, 3}]
 [绘图] [数值积分] [第一类贝塞尔函数]



其中横坐标表示 k_0 与 k_- 之间的矢径的大小,, 可以看到其随着他们之间的差值近似指数衰减, 这与我们只考虑两条 band 中最近邻的两个 k 之间的耦合是自洽的。我们将这个积分等效为将 k_- 变为 $k_m = \frac{k_0+k_-}{2}$ (近似合理性的证明) 由此可以得到

$$\Delta_{12} = -\frac{\Delta_e}{k_m} A_{\theta}^{12} \quad (38)$$

同时

$$\Delta_{22} = i\Delta_e e^{-i\theta} (\hbar v_{k_-} \partial_E - iA_E^{22} - \frac{i\partial_{\theta} + A_{\theta}^{22}}{k}) \quad (39)$$

其中 A_E^{22} 可以通过做规范变化 $|\psi_-(E, \theta)\rangle \rightarrow e^{i \int^E A_{E'}^{22} dE'}$ 将其消掉, 由此我们便可以得到 H_{BdG} , 为了计算方便, 我们将相同 band 的电子空穴写到一起, 即在基矢 $\{|\psi_0(E, \theta)\rangle_e, |\psi_0(E, \theta)\rangle_h, |\psi_-(E, \theta)\rangle_e, |\psi_-(E, \theta)\rangle_h\}$ 中

$$\begin{pmatrix} E - \mu & i\Delta_e e^{-i\theta} (\hbar v_{k_-} \partial_E - \frac{i\partial_{\theta} + A_{\theta}^{00}}{k_-(E)}) & 0 & -\frac{\Delta_e}{k_m} e^{-i\theta} A_{\theta}^{0-} \\ i\Delta_e e^{i\theta} (\hbar v_{k_-} \partial_E + \frac{i\partial_{\theta} + A_{\theta}^{00}}{k}) & \mu - E & -\frac{\Delta_e}{k_m} e^{i\theta} A_{\theta}^{-0} & 0 \\ 0 & -\frac{\Delta_e}{k_m} e^{-i\theta} A_{\theta}^{0-} & E - \mu & i\Delta_e e^{-i\theta} (\hbar v_{k_-} \partial_E - \frac{i\partial_{\theta} + A_{\theta}^{-}}{k_-(E)}) \\ -\frac{\Delta_e}{k_m} e^{i\theta} A_{\theta}^{-0} & 0 & i\Delta_e e^{i\theta} (\hbar v_{k_-} \partial_E + \frac{i\partial_{\theta} + A_{\theta}^{-}}{k}) & E - \mu \end{pmatrix} \quad (40)$$

因为系统具有连续旋转对称性, 可以定义角动量

$$J_z = -i\partial_{\theta} + \frac{1}{2} + \frac{1}{2}\tau_z \quad (41)$$

由此其波函数可以写作

$$\psi(E, \theta) = \frac{1}{\sqrt{k_-(E)}} \begin{pmatrix} e^{i(j-1)\theta} u_1(k) \\ -ie^{ij\theta} u_2(k) \\ e^{i(j-1)\theta} u_3(k) \\ -ie^{ij\theta} u_4(k) \end{pmatrix} \quad (42)$$

由此可以做一个变换

$$U = \frac{1}{\sqrt{k_-(E)}} \begin{pmatrix} e^{i(j-1)\theta} & & & \\ & -ie^{ij\theta} & & \\ & & e^{i(j-1)\theta} & \\ & & & -ie^{ij\theta} \end{pmatrix} \quad (43)$$

由此可得

$$\begin{pmatrix} E - \mu & \Delta_e(\hbar v_{k_-} \partial_E + \frac{j-\frac{1}{2}-A_\theta^{00}}{k}) & 0 & -\Delta_e \frac{A_\theta^{0-}}{k} \\ \Delta_e(\frac{j-\frac{1}{2}-A_\theta^{00}}{k} - \hbar v_{k_-} \partial_E) & \mu - E & -\Delta_e \frac{A_\theta^{0-}}{k} & 0 \\ 0 & -\Delta_e \frac{A_\theta^{-0}}{k} & E - \mu & \Delta_e(\hbar v_{k_-} \partial_E + \frac{j-\frac{1}{2}-A_\theta^{-}}{k}) \\ -\Delta_e \frac{A_\theta^{-0}}{k} & 0 & \Delta_e(\frac{j-\frac{1}{2}-A_\theta^{-}}{k} - \hbar v_{k_-} \partial_E) & \mu - E \end{pmatrix} \quad (44)$$

$$= (E - \mu)s_0\tau_z + i\Delta_e\hbar v_{k_-}\partial_E s_0\tau_y + \frac{\Delta_e}{k_-(E)}(j - \frac{1}{2})s_0\tau_x - \begin{pmatrix} 0 & \frac{\Delta_e}{k_-(E)}A_\theta^{00} & 0 & \frac{\Delta_e}{k_m}A_\theta^{0-} \\ \frac{\Delta_e}{k_-(E)}A_\theta^{00} & 0 & \frac{\Delta_e}{k_m}A_\theta^{0-} & 0 \\ 0 & \frac{\Delta_e}{k_m}A_\theta^{-0} & 0 & \frac{\Delta_e}{k_-(E)}A_\theta^{-} \\ \frac{\Delta_e}{k_m}A_\theta^{-0} & 0 & \frac{\Delta_e}{k_-(E)}A_\theta^{-} & 0 \end{pmatrix} \quad (45)$$

前面两项构成一个 4*4 的 JR, 其取零模的时候能量由后面的部分决定, 可求得

$$A_\theta^{00} = 0 \quad A_\theta^{-} = 0 \quad A_\theta^{0-} = \frac{\sqrt{2}Ak_-(E)}{a_-} \quad (46)$$

由此可以得到

$$E_j = \frac{\Delta_e}{k_-(E)}(j - \frac{1}{2})s_0\tau_x - \frac{\Delta_e}{k_m}A_\theta^{0-}s_x\tau_x \quad (47)$$

可以得到其能量本征值为

$$E = \frac{\Delta_e}{k_-(E)}(j - \frac{1}{2} \pm \frac{k_-(E)}{k_m}A_\theta^{0-}) \quad (48)$$

要想使其取得零能解, 即 $\frac{k_-(E)}{k_m}A_\theta^{0-}$ 为半整数, 容易分析知道其值大于 0 而且小于 0, 故其为半整数

的话只能取 $\frac{1}{2}$

$$\frac{k_-(E)}{k_m} A_{\theta}^{0-} = \frac{k_-(E)}{\frac{k_0(E)+k_-(E)}{2}} \frac{\sqrt{2} A k_-(E)}{a_-} = \frac{1}{2} \quad (49)$$

带入数值计算的参数，即 $M_0 = -1, M_1 = 1, A = 0.5$ ，为了简化计算，我对 $\frac{k_-(E)}{\frac{k_0(E)+k_-(E)}{2}}$ 做了一个简单的估计，我用一个大约的值 0.81 做了一个简单的代替 [从计算得到的能带图上大概估计是 0.9/1.1 约等于 0.81 左右]，做了一下粗略的估计

```
Solve[0.81 * Sqrt[2] * 0.5 *  $\frac{x}{\text{Sqrt}[( (-1 + x^2 + \text{Sqrt}[(-1 + x^2)^2 + 0.5 * x^2])^2 + 0.5 * x^2)]}$  == 0.5, x]
[解方程] [平方根]

{{x -> 1.09035}}

x2 = 1.090347871187568`
1.09035

-Sqrt[(-1 + x2^2)^2 + 0.5 * x2^2]
[平方根]

-0.793786
```

用同样的方法初步估算了下当费米面位于 μ_+ 附近的时候，其结果大概是

```
Solve[0.81 * Sqrt[2] * 0.5 *  $\frac{x}{\text{Sqrt}[( (1 - x^2 + \text{Sqrt}[(-1 + x^2)^2 + 0.5 * x^2])^2 + 0.5 * x^2)]}$  == 0.5, x]
[解方程] [平方根]

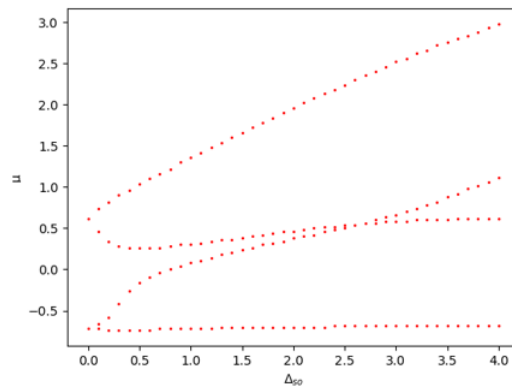
{{x -> 0.917138}}

x1 = 0.9171384898572194`
Sqrt[(-1 + x1^2)^2 + 0.5 * x1^2]
[平方根]

0.917138

0.667688
```

即相变点的能量大概是在 0.66 和 0.79 附近，数值计算的结果为



其相变点的位置基本是吻合的，同时由

$$E = \frac{\Delta_e}{k_-(E)} \left(j - \frac{1}{2} \pm \frac{k_-(E)}{k_m} A_\theta^{0-} \right) \quad (50)$$

可知当 $\frac{k_-(E)}{k_m} A_\theta^{0-}$ 取 $\frac{1}{2}$ 时， j 可取 0, 1，即相变点处的 $C_{2z} = 1$ or -1 ，后面我在更具体的将两个零能的波函数具体的写出来。当把 DSM 中 k_y 前面的系数反号之后，其电子部分的哈密顿量变为

$$H_{e\uparrow}(k) = \begin{pmatrix} M(k) & -iAke^{-i\theta} & -iAke^{-i\theta} \\ iAke^{i\theta} & -M(k) & 0 \\ iAke^{i\theta} & 0 & -M(k) \end{pmatrix} \quad (51)$$

此时的角动量就变为了

$$J_z = -i\partial_\theta + \begin{pmatrix} \frac{1}{2} & & \\ & -\frac{1}{2} & \\ & & -\frac{1}{2} \end{pmatrix} \quad (52)$$

用上面同样的方法可以求得此时 $H_{e\uparrow}(k)$ 的本征态为

$$|\psi_0^j\rangle_e = \frac{1}{2\sqrt{\pi}} \begin{pmatrix} 0 \\ -e^{i(j+\frac{1}{2})\theta} \\ e^{i(j+\frac{1}{2})\theta} \end{pmatrix} \quad |\psi_\pm^j\rangle_e = \frac{1}{a_\pm\sqrt{2\pi}} \begin{pmatrix} -i(M(k) \pm E)e^{i(j-\frac{1}{2})\theta} \\ Ake^{i(j+\frac{1}{2})\theta} \\ Ake^{i(j+\frac{3}{2})\theta} \end{pmatrix} \quad (53)$$

同样的对于空穴部分由

$$|\psi_0^j\rangle_h = \frac{1}{2\sqrt{\pi}} \begin{pmatrix} 0 \\ -e^{i(j+\frac{1}{2})\theta} \\ e^{i(j+\frac{1}{2})\theta} \end{pmatrix} \quad |\psi_\pm^j\rangle_h = \frac{1}{a_\pm\sqrt{2\pi}} \begin{pmatrix} -i(M(k) \pm E)e^{i(j-\frac{1}{2})\theta} \\ Ake^{i(j+\frac{1}{2})\theta} \\ Ake^{i(j+\frac{1}{2})\theta} \end{pmatrix} \quad (54)$$

同样的为了计算方便可以取 $j = -\frac{1}{2}$ ，此时可得

$$|\psi_0\rangle_e = \frac{1}{2\sqrt{\pi}} \begin{pmatrix} 0 \\ -1 \\ 1 \end{pmatrix} \quad |\psi_\pm\rangle_e = \frac{1}{a_\pm\sqrt{2\pi}} \begin{pmatrix} -i(M(k) \pm E)e^{-i\theta} \\ Ak \\ Ak \end{pmatrix} \quad (55)$$

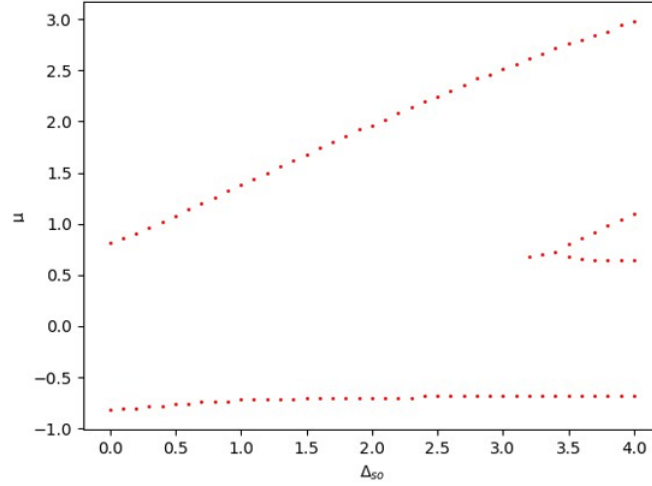
$$|\psi_0\rangle_h = \frac{1}{2\sqrt{\pi}} \begin{pmatrix} 0 \\ -1 \\ 1 \end{pmatrix} \quad |\psi_\pm\rangle_h = \frac{1}{a_\pm\sqrt{2\pi}} \begin{pmatrix} -i(M(k) \pm E)e^{-i\theta} \\ Ak \\ Ak \end{pmatrix} \quad (56)$$

此时注意到中间的 $|\psi_0\rangle_e$ 与 k, θ 均无关，因此可得其与另外两条 band 的耦合均为 0，所以可以直

接在 (k, θ) 中考虑，用同样的方法，可求出当

$$A_{\theta}^{-} = -\frac{(-M(k) + E)^2}{(-M(k) + E)^2 + 2A^2k^2} \quad (57)$$

为半整数的时候，其发生相变，最终可以得到当 $M(k) = 0$ 的时候发生相变，带入数值，可计算得相变的能量为 ± 0.707 ，与数值计算比较吻合。



1 结论

用 Vishwanath 的方法比较完整的推到了三带模型的拓扑相变问题，从推导的结果来看，在没有改变系数的情况下，中间那条带与另外的两条带都有耦合，从而会有一个非阿贝尔的贝里相位，使得在某个能量 E 处会有两个角动量不相同的相变点。而当改变系数的符号之后，使得角动量发生了改变，从而导致中间那条 band 与另外的两条 band 都没有了耦合，此时就只有另外的两条 band 提供相变，情况与一个简单 TI 的情形类似。在推导过程中关于不同 k 之间的耦合系数的合理性后面再更有理由的估计一下，然后就是将两个零能解得具体波函数写出来。然后就是改变系数之后的情况，因为和之前的推导一样，所以这里暂时就没详细整理，后续将其补充完整。